

第九届手征有效场论研讨会

2024.10.18-21, 长沙

第一性原理方法研究原子核 中同位旋对称性破缺

李健国

中国科学院近代物理研究所

合作者：许甫荣，左维，袁琪，李红蕙，王沛妍，谢萌冉，陈诺，李坤昊，王新鹏...

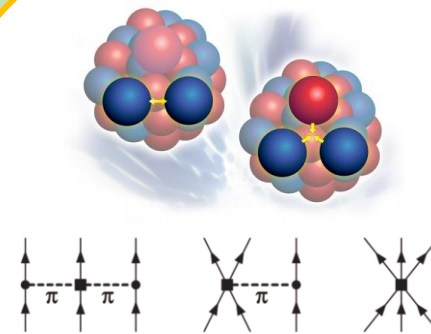
现实核力

自由度: π 介子和核子

要求: 重现核子-核子散射相移, 不引入核结构参数

性质: 短程排斥、长程吸引, 具有强排斥芯

代表: CD-Bonn、AV18、手征有效场论(χ EFT)



三体力

核力重整化

目的: 将高低动量退耦合, 软化核力, 加快多体计算的收敛速度

代表: G-Matrix、 $V_{\text{low-}k}$ 、相似重整化群(SRG),...

多体方法

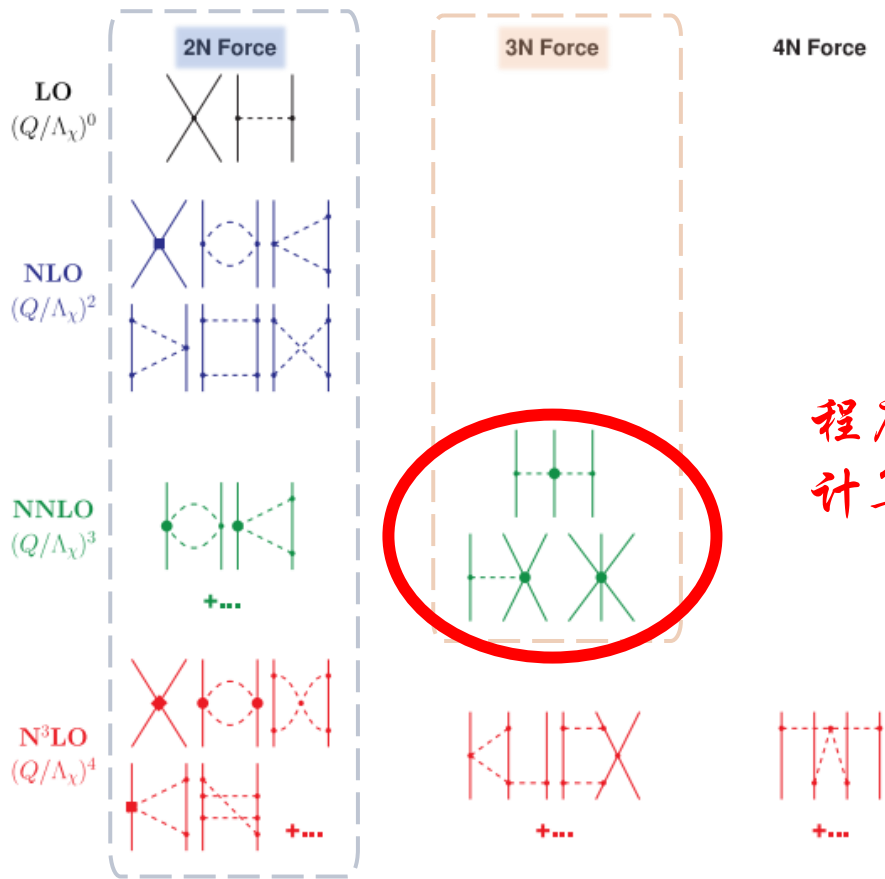
目的: 求解原子核多体强关联系统的哈密顿量, 描述其物理性质

代表: NCSM($A \leq 16$), MBPT($A \sim 100$), CC($A \sim 100$, ^{208}Pb),

IMSRG($A \sim 100$, ^{208}Pb), **ACSE** (我们正在发展这个方法)...

手征有效场论

现实核力 (NN+3N)



程序复杂
计算量非常大

N^3LO 两体力 + N^2LO 三体力

同位旋对称性破缺: 接触项和 π 介子交换项

Isospin breaking contributions to the NN interaction.

| Order | Contributions |
|--------------------|---|
| NL0 ($\nu = 2$) | Pion-mass splitting in 1PE, Static Coulomb potential. |
| NNL0 ($\nu = 3$) | CSB contacts without derivatives, Charge dependence of the pion-nucleon coupling constant in 1PE ($\sim \epsilon m_\pi^2 / \Lambda_\chi^2$). |
| N³L0 ($\nu = 4$) | CIB contacts without derivatives, Charge dependence of the pion-nucleon coupling constant in 1PE [$\sim e^2 / (4\pi)^2$], Pion-mass splitting in NLO 2PE, Nucleon-mass splitting in NLO 2PE and LS equation, $\pi\gamma$ exchange, Relativistic corrections to the Coulomb potential ($\sim e^2 Q^2 / M_N^2$), Further electromagnetic corrections. |

Table F.2

Partial-wave LECs for two N^3LO fits by the Idaho group [68] using $\Lambda = 500$ and 600 MeV in the regulator function $f(p', p)$, Eq. (4.63). The \bar{C} of the zero order partial-wave counterterms given in Eq. (4.39) are in units of 10^4 GeV^{-2} ; the C_i , Eq. (4.41), in 10^4 GeV^{-3} ; and the D_i, \bar{D}_i , Eq. (E.1), in 10^4 GeV^{-5} . The last column lists the exponent n of the regulator function, which is applied to the corresponding partial-wave counterterm.

| Partial-wave LEC | $\Lambda = 500 \text{ MeV}$ | $\Lambda = 600 \text{ MeV}$ | n |
|---------------------------------|-----------------------------|-----------------------------|-------|
| \bar{C}_{10}^{pp} | -0.145286 | -0.151165 | 3 |
| \bar{C}_{10}^{nn} | -0.146285 | -0.151467 | 3 |
| \bar{C}_{10}^{pn} | -0.147167 | -0.151745 | 3 |
| C_{10} | 2.380 | 2.200 | 2 |
| \bar{D}_{10} | -2.545 | -4.890 | 2 |
| D_{10} | -16.00 | -5.84 | 2 |
| C_{1p} | 1.487 | 1.548 | 2 |
| D_{1p} | 0.245 | -0.215 | 3 |
| C_{1p_1} | 0.656 | 0.790 | 2 |
| D_{1p_1} | 5.25 | 4.40 | 2 |
| C_{1p_2} | -0.630 | -0.488 | 2 |
| D_{1p_2} | 2.35 | 3.24 | 4 |
| \bar{C}_{31} | -0.118972496 | -0.116210 | 3 |
| C_{31} | 0.760 | 0.775 | 2 |
| \bar{D}_{31} | 7.00 | 4.8004 | 2 |
| D_{31} | 6.55 | 10.8654 | 2 |
| D_{1p_1} | -2.80 | -2.35 | 2 |
| $C_{31 \rightarrow 1p_1}$ | 0.826 | 0.796 | 2 |
| $\bar{D}_{31 \rightarrow 1p_1}$ | 2.25 | 2.86 | 2 |
| $D_{31 \rightarrow 1p_1}$ | 6.61 | 5.58 | 2 |
| D_{1p_2} | -1.770 | -1.764 | 4 |
| D_{1p_2} | -1.46 | -1.27 | 2 |
| C_{1p_2} | -0.538 | -0.548 | 2 |
| D_{1p_2} | 2.295 | 2.554 | 2 |
| $D_{1p_2 \rightarrow 1p_2}$ | -0.465 | -0.525 | 4 |
| D_{1p_2} | 5.66 | 6.26 | 2, 3* |

* $f(p', p) = 0.5[\exp(-(p'/\Lambda)^4 - (p/\Lambda)^4) + \exp(-(p'/\Lambda)^6 - (p/\Lambda)^6)]$ is applied.

价空间-介质相似重整化群 (VS-IMSRG) 与多体微扰方法

核多体问题: $H|\Psi\rangle = E|\Psi\rangle$

1. A体哈密顿量H

$$H = \sum_{i=1}^A \left(1 - \frac{1}{A}\right) \frac{p_i^2}{2m} + \sum_{i<j}^A \left(v_{ij}^{NN} - \frac{p_i \cdot p_j}{mA} \right) + \sum_{i<j<k}^A v_{ijk}^{3N}$$

2. 对A体哈密顿量做正规乘积 (Normal Order)

$$\begin{aligned}
 E &= \left(1 - \frac{1}{A}\right) \sum_i \langle i|T^{(1)}|i\rangle n_i + \frac{1}{2} \sum_{ij} \langle ij|T^{(2)} + V^{(2)}|ij\rangle n_i n_j \\
 &\quad + \frac{1}{6} \sum_{ijk} \langle ijk|V^{(3)}|ijk\rangle n_i n_j n_k \qquad \Gamma_{ijkl} = \langle ij|T^{(2)} + V^{(2)}|kl\rangle + \sum_a \langle ija|V^{(3)}|kla\rangle n_a \\
 H_{NO} &= \underbrace{E}_{\text{red}} + \sum_{ij} \underbrace{f_{ij}}_{\text{blue}} : a_i^\dagger a_j : + \frac{1}{4} \sum_{ijkl} \underbrace{\Gamma_{ijkl}}_{\text{green}} : a_i^\dagger a_j^\dagger a_l a_k : + \frac{1}{36} \sum_{ijklmn} \underbrace{W_{ijklmn}}_{\text{orange}} : a_i^\dagger a_j^\dagger a_k^\dagger a_n a_m a_l : \\
 f_{ij} &= \left(1 - \frac{1}{A}\right) \langle i|T^{(1)}|j\rangle + \sum_a \langle ia|T^{(2)} + V^{(2)}|ja\rangle n_a \qquad W_{ijklmn} = \langle ijk|V^{(3)}|lmn\rangle \\
 &\quad + \frac{1}{2} \sum_{ab} \langle iab|V^{(3)}|jab\rangle n_a n_b
 \end{aligned}$$

正规乘积后的两体近似(NO2B)包含三体力效应。

价空间-介质相似重整化群 (VS-IMSRG) 与多体微扰方法

核多体问题: $H|\Psi\rangle = E|\Psi\rangle$

1. A体哈密顿量H

$$H = \sum_{i=1}^A \left(1 - \frac{1}{A}\right) \frac{p_i^2}{2m} + \sum_{i<j}^A \left(v_{ij}^{NN} - \frac{p_i \cdot p_j}{mA} \right) + \sum_{i<j<k}^A v_{ijk}^{3N}$$

2. 对A体哈密顿量做正规乘积 (Normal Order)

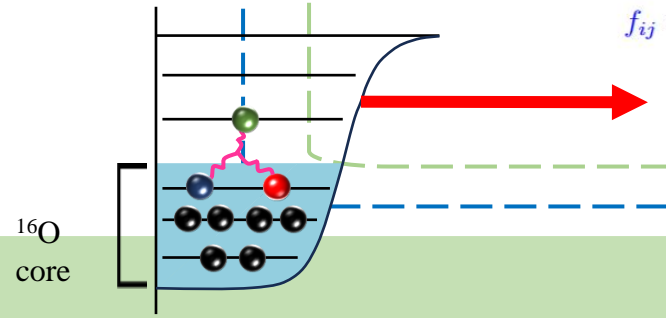
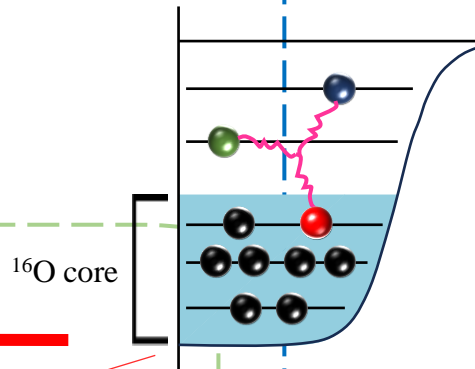
$$E = \left(1 - \frac{1}{A}\right) \sum_i \langle i | T^{(1)} | i \rangle n_i + \frac{1}{2} \sum_{ij} \langle ij | T^{(2)} + V^{(2)} | ij \rangle n_i n_j + \frac{1}{6} \sum_{ijk} \langle ijk | V^{(3)} | ijk \rangle n_i n_j n_k$$

$$\Gamma_{ijkl} = \langle ij | T^{(2)} + V^{(2)} | kl \rangle + \sum_a \langle ija | V^{(3)} | kla \rangle n_a$$

$$H_{NO} = \underbrace{E}_{\text{red}} + \sum_{ij} \underbrace{f_{ij}}_{\text{blue}} : a_i^\dagger a_j : + \frac{1}{4} \sum_{ijkl} \underbrace{\Gamma_{ijkl}}_{\text{green}} : a_i^\dagger a_j^\dagger a_l a_k : + \frac{1}{36} \sum_{ijklmn} \underbrace{W_{ijklmn}}_{\text{orange}} : a_i^\dagger a_j^\dagger a_k^\dagger a_n a_m a_l :$$

$$f_{ij} = \left(1 - \frac{1}{A}\right) \langle i | T^{(1)} | j \rangle + \sum_a \langle ia | T^{(2)} + V^{(2)} | ja \rangle n_a + \frac{1}{2} \sum_{ab} \langle iab | V^{(3)} | jab \rangle n_a n_b$$

$$W_{ijklmn} = \langle ijk | V^{(3)} | lmn \rangle$$



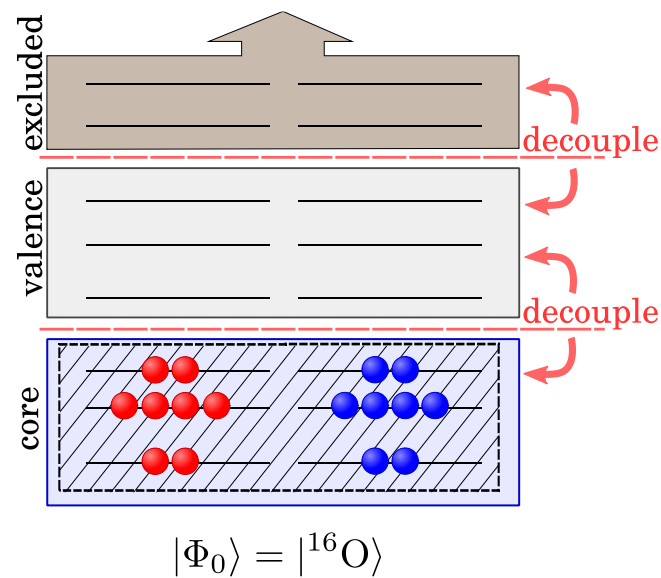
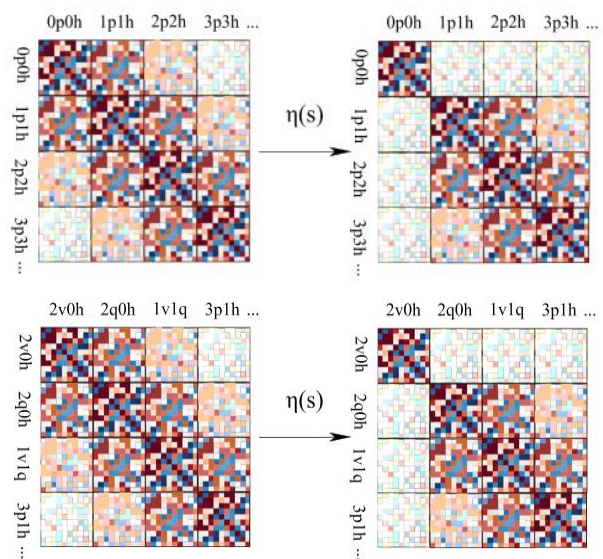
正规乘积后的两体近似(NO2B)包含三体力效应。



3. 通过连续的么正变换 U 将正规乘积的哈密顿量脱耦成价空间的有效哈密顿量

$$H_{eff}(s) = U(s)H_{NO}U^\dagger(s), (UU^\dagger = 1)$$

- 流方程: $\frac{d}{ds}H_{eff}(s) = [\eta(s), H(s)]$
- 生成子: $\eta(s) = \frac{dU(s)}{ds}U^\dagger(s) = -\eta^\dagger(s)$
- 么正变换: $U(s) = e^{\Omega(s)} = e^{\int \eta(s)ds}$



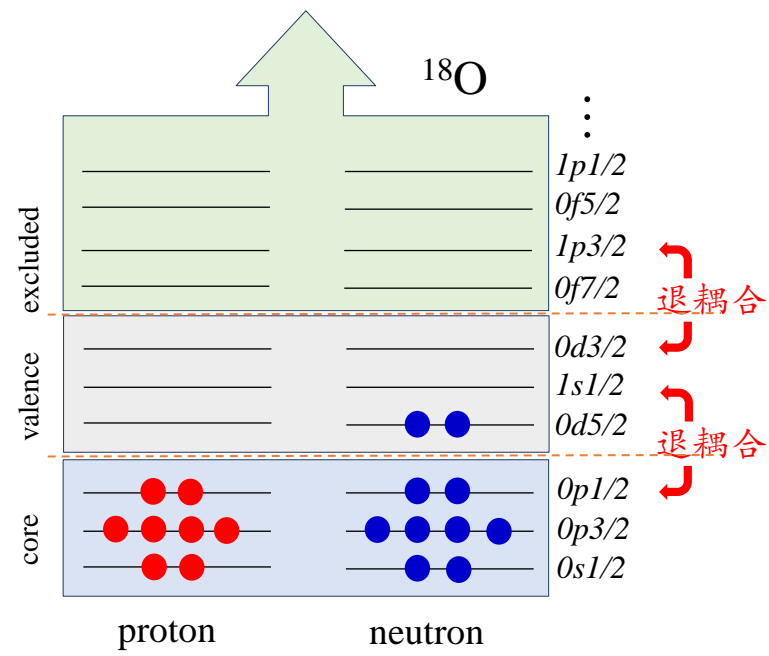
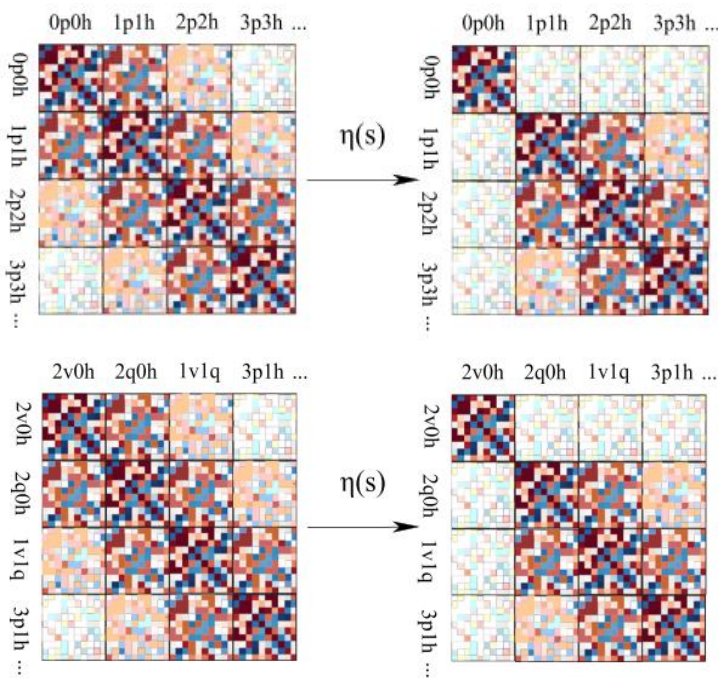
价空间-介质相似重整化群 (VS-IMSRG)

第一性原理价空间的介质相似重整化群 (*Ab initio* VS-IMSRG)
Ab initio Valence-Space In-Medium Similarity Renormalization Group

➤ 核心思想

$$H(s) = U(s)H(0)U^\dagger(s)$$

$$= H^d(s) + H^{od}(s) \rightarrow H^d(\infty)$$



➤ 优势:

- 基于现实核力 (NN+3N)
 - 包括CSB 以及 CIB 效应
 - 同位旋对称性破缺: 接触项和交换项
- 在计算过程中, 没有引入额外的参数
- 精确处理核多体系统

壳模型能算的, VS-IMSRG都可以从现实核力出发进行计算

同位旋对称性破缺的起因



➤ 粒子物理

- ✓ u-d 夸克质量区别
- ✓ 夸克之间的电磁效应

1. p-n 质量区别:

$$m_p = 1.00782503 u, m_n = 1.00866491 u$$

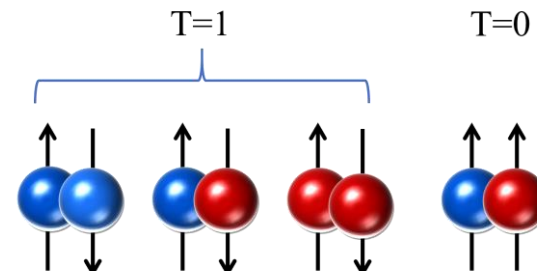
2. p-n 电荷区别:

$$e_p = e, e_n = (-4.3 \pm 7.1) \times 10^{-20} e$$

➤ 核物理

- ✓ 库仑相互作用
- ✓ 核子-核子相互作用的区别

- 电荷对称性破缺 (Charge symmetry breaking--CSB) $V_{nn} - V_{pp}$ (同位旋矢量)
- 电荷无关性破缺 (Charge independent breaking--CIB) $2V_{np} - (V_{nn} + V_{pp})$ (同位旋张量)

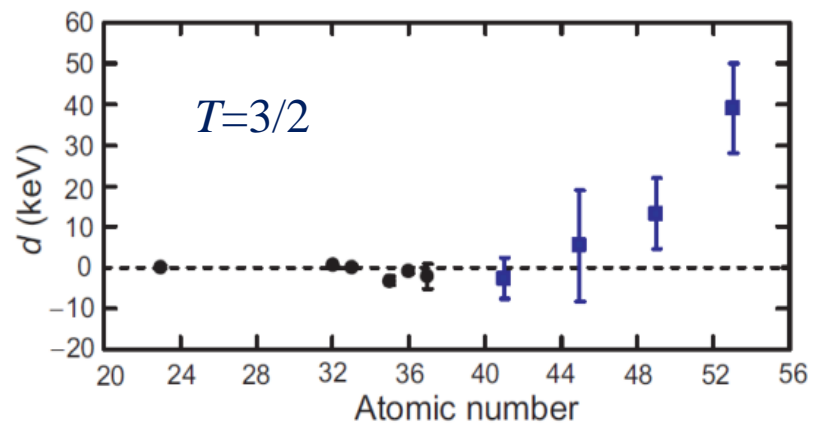
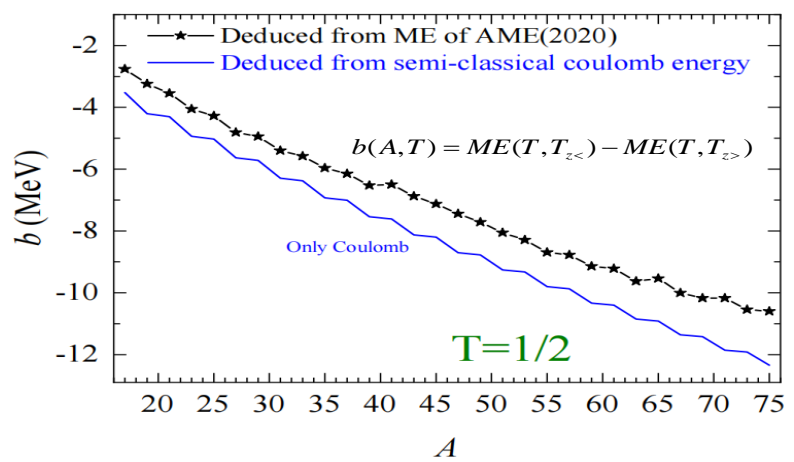
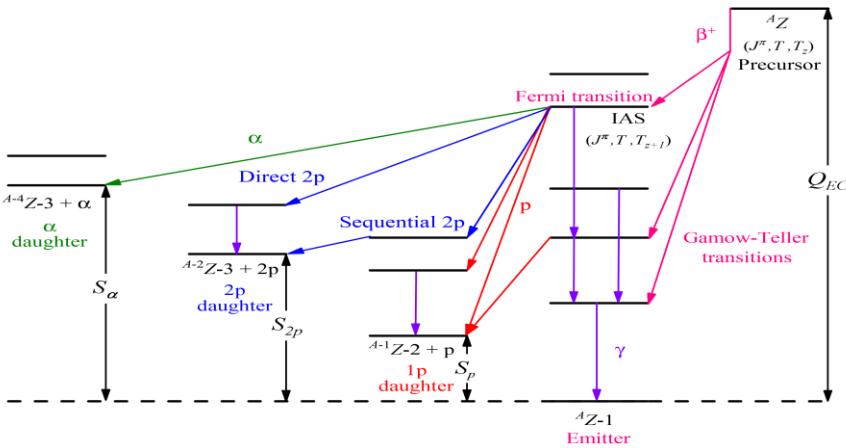
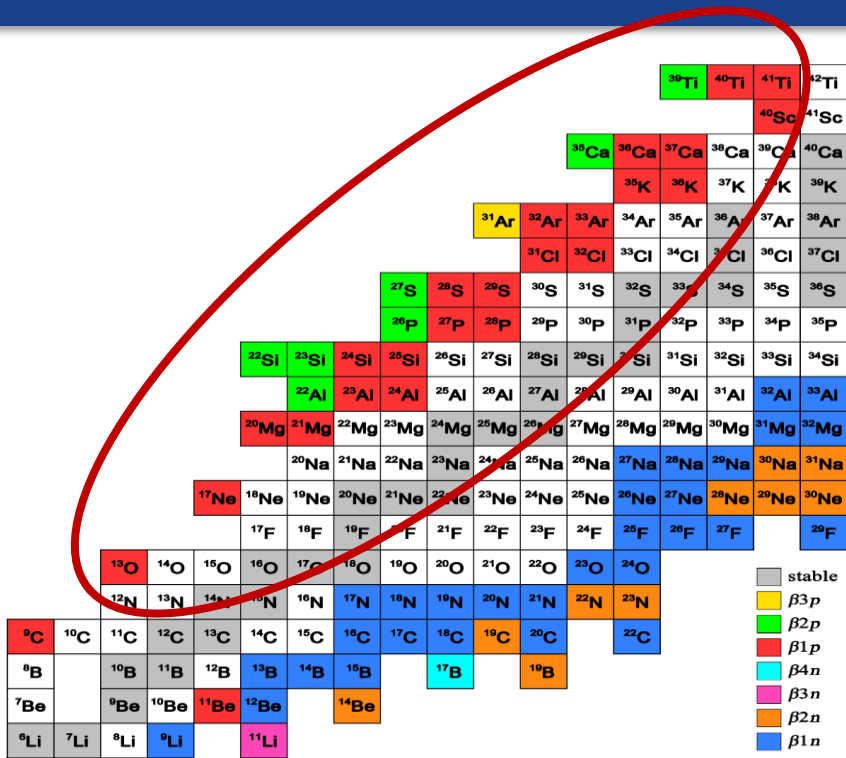


同位旋不守恒力 (Isospin non-conserving force--INC)

- ✓ 弱束缚效应

探索同位旋对称性破缺的物理机制：库仑力，核力，弱束缚效应…

同位旋对称性破缺：质子滴线核中的 β 衰变, IMME



Large deviation for $A=53, T=3/2$ quartet. A non-zero d term is found.

Y.-H. Zhang et al, Phys. Rev. Lett. 109 (2012) 102501

镜像能级差异(MED)

$$\text{MED} = E_x(J, T, T_Z = -T) - E_x(J, T, T_Z = T),$$

Thomas-Ehrman Shift

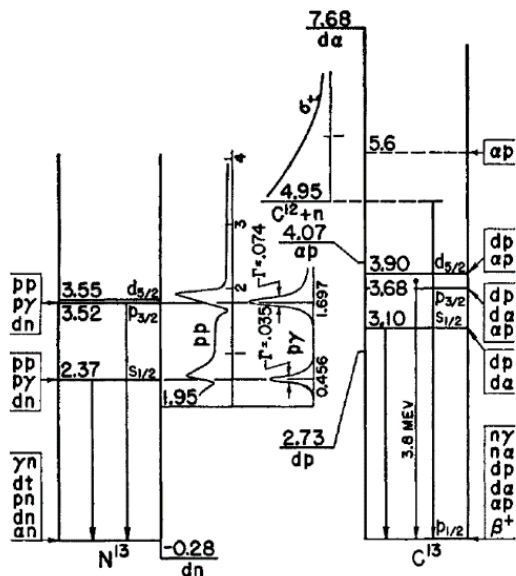
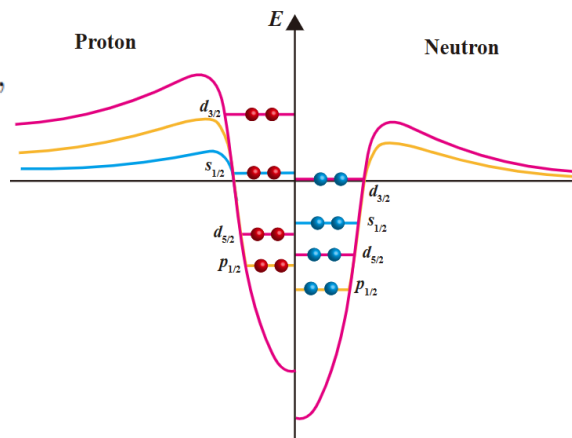


FIG. 1. The energy levels of C^{13} and N^{13} below 6 Mev.

Phys. Rev. 88,1109 (1952)



mirror asymmetry parameter (δ):

$$\delta = \frac{ft^+}{ft^-} - 1$$



$\delta \gg 0$
isospin symmetry breaking

PHYSICAL REVIEW LETTERS 125, 192503 (2020)

Isospin Asymmetry in $^{22}\text{Si}/^{22}\text{O}$ Mirror Gamow-Teller Transitions Reveals the Halo Structure of ^{22}Al

| $^{22}\text{Si} \rightarrow ^{22}\text{Al} Q_{\text{EC}} = 13963 \text{ keV}$ | | | | | $^{22}\text{O} \rightarrow ^{22}\text{F} Q_{\beta^-} = 6490 \text{ keV}$ | | | | | δ (%) | | |
|---|-------------|--------------|--------------|-------------|--|-------------|--------------|--------------|-------------|--------------|----------|-----------|
| Experiment | | Calculations | | | Experiment | | Calculations | | | | | |
| I_i^π | E_x (MeV) | br% | $\log(ft^+)$ | E_x (MeV) | $\log(ft^+)$ | E_x (MeV) | br% | $\log(ft^-)$ | E_x (MeV) | $\log(ft^-)$ | | |
| 1_1^+ | 0.905 | 5.3 (10) | 5.09 (9) | 1.12 [1.69] | 4.81 [4.52] | 1.625 | 29 (4) | 4.6 (1) | 1.98 [1.56] | 4.32 [4.56] | 209 (96) | 212 [-7] |
| 1_2^+ | 2.145 | 56.5 (51) | 3.83 (5) | 2.43 [2.55] | 3.71 [3.72] | 2.572 | 68 (6) | 3.8 (1) | 2.58 [2.51] | 3.72 [3.68] | 7 (28) | -3.4 [10] |

Comparing the mirror β decay of $^{22}\text{Si}/^{22}\text{O}$, we found **the largest** value of mirror asymmetry ($\delta = 209(96) \%$) in low-lying states by far, in the transition to the first 1^+ excited state.

镜像能级差异



采用NN(bare)和NN+3N(1.8/2.0)现实核力，利用VS-IMSRG研究镜像核能谱上的破缺

PHYSICAL REVIEW C 107, 014302 (2023)

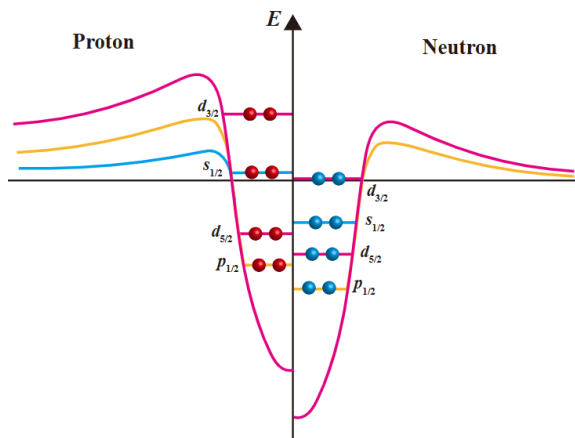
Investigation of isospin-symmetry breaking in mirror energy difference and nuclear mass with *ab initio* calculations

H. H. Li,^{1,2} Q. Yuan,³ J. G. Li,^{1,2,*} M. R. Xie,¹ S. Zhang,³ Y. H. Zhang,^{1,2} X. X. Xu,^{1,2} N. Michel,^{1,2} F. R. Xu,³ and W. Zuo^{1,2}

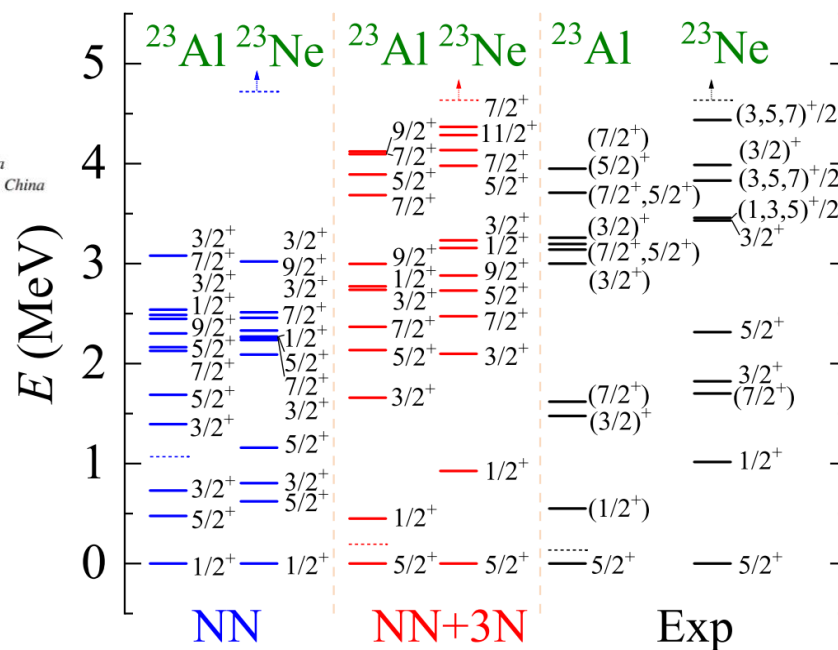
¹CAS Key Laboratory of High Precision Nuclear Spectroscopy, Institute of Modern Physics, Chinese Academy of Sciences, Lanzhou 730000, China

²School of Nuclear Science and Technology, University of Chinese Academy of Sciences, Beijing 100049, China

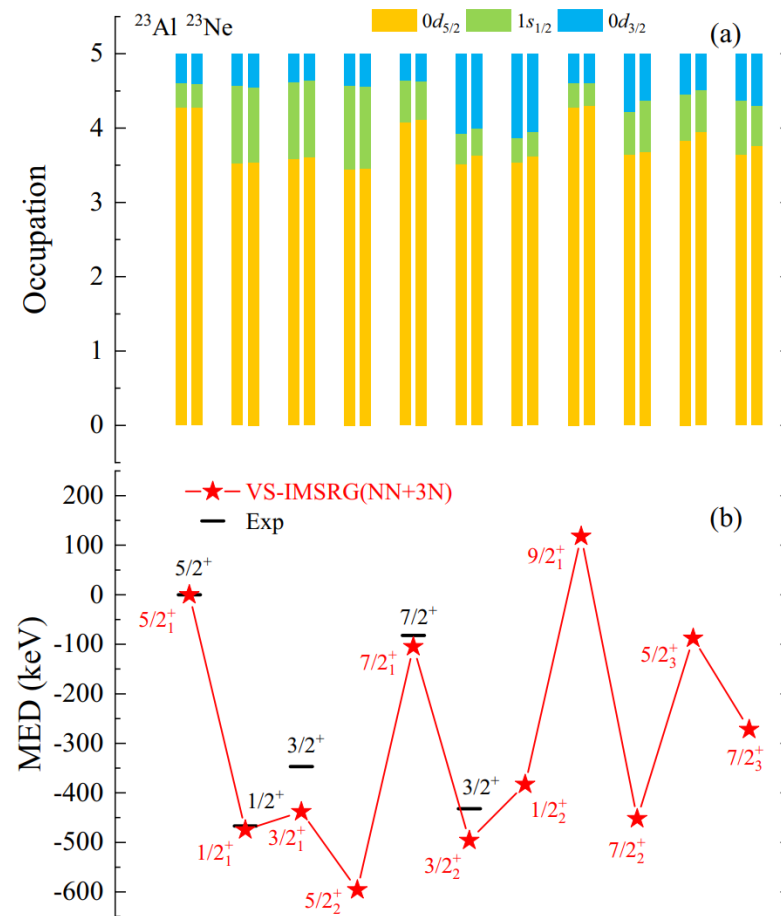
³School of Physics, and State Key Laboratory of Nuclear Physics and Technology, Peking University, Beijing 100871, China



三体力对能谱的研究至关重要。



镜像能级差异→同位旋对称性破缺
(MED) = $E_x(\text{丰质子}) - E_x(\text{丰中子})$



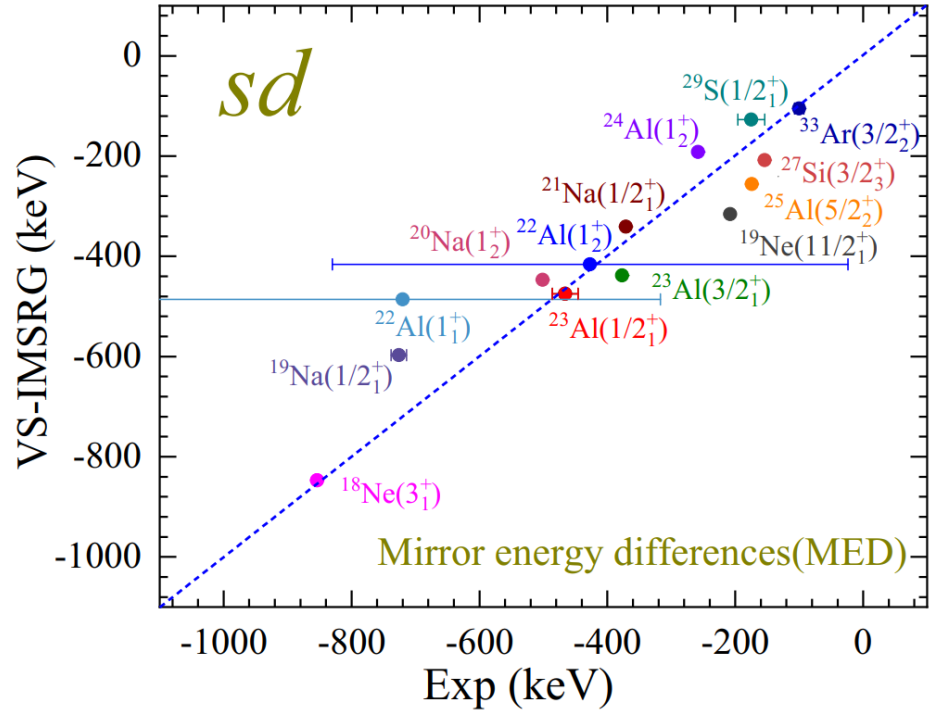
较大的MED主要是由1s1/2轨道占据导致，0d3/2轨道的占据也做出贡献

镜像能级差异--sd壳

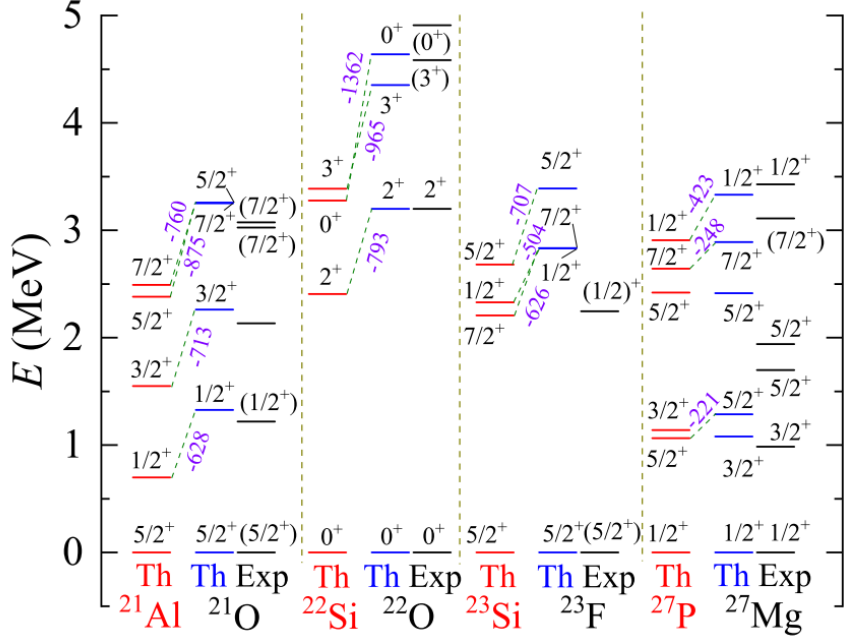
① 计算实验上已发现具有较大MED的镜像核相似态。

② 预测sd壳质子滴线区原子核的低激发谱。

第一性原理能较好地重现实验结果



第一性原理VS-IMSRG方法可用于预测实验感兴趣的未知原子核。



- 其镜像核(对应的丰中子核)的计算结果可与实验比拟。
- 丰质子原子核的预测是可靠。

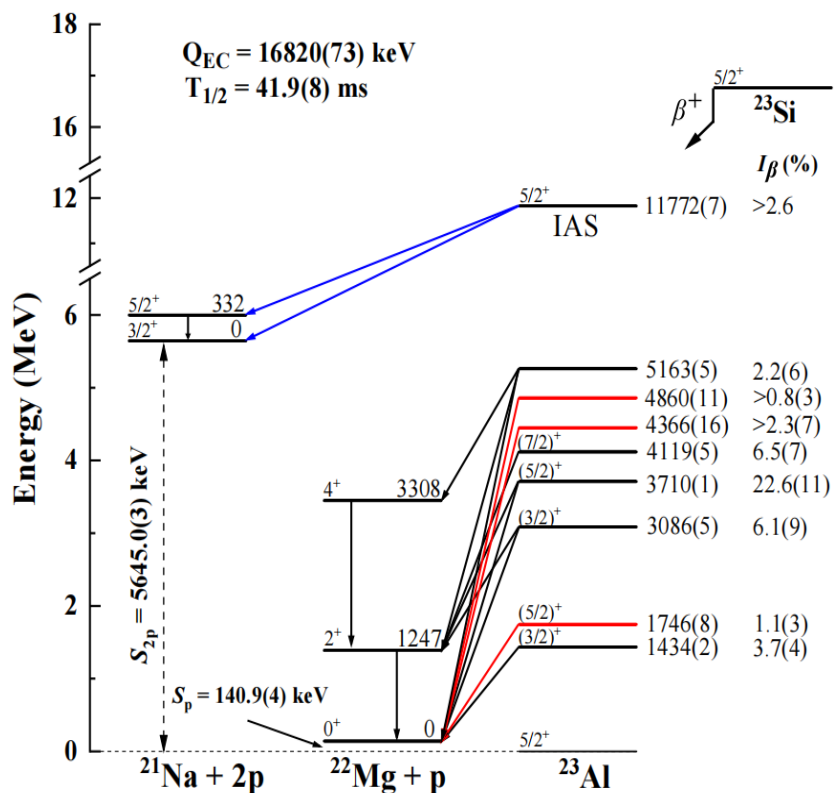
MED 较大

质子滴线核中的 β 衰变-同位旋对称性破缺



与近物所徐新星研究员合作

Decay Scheme



Comparison for Mirror Asymmetry

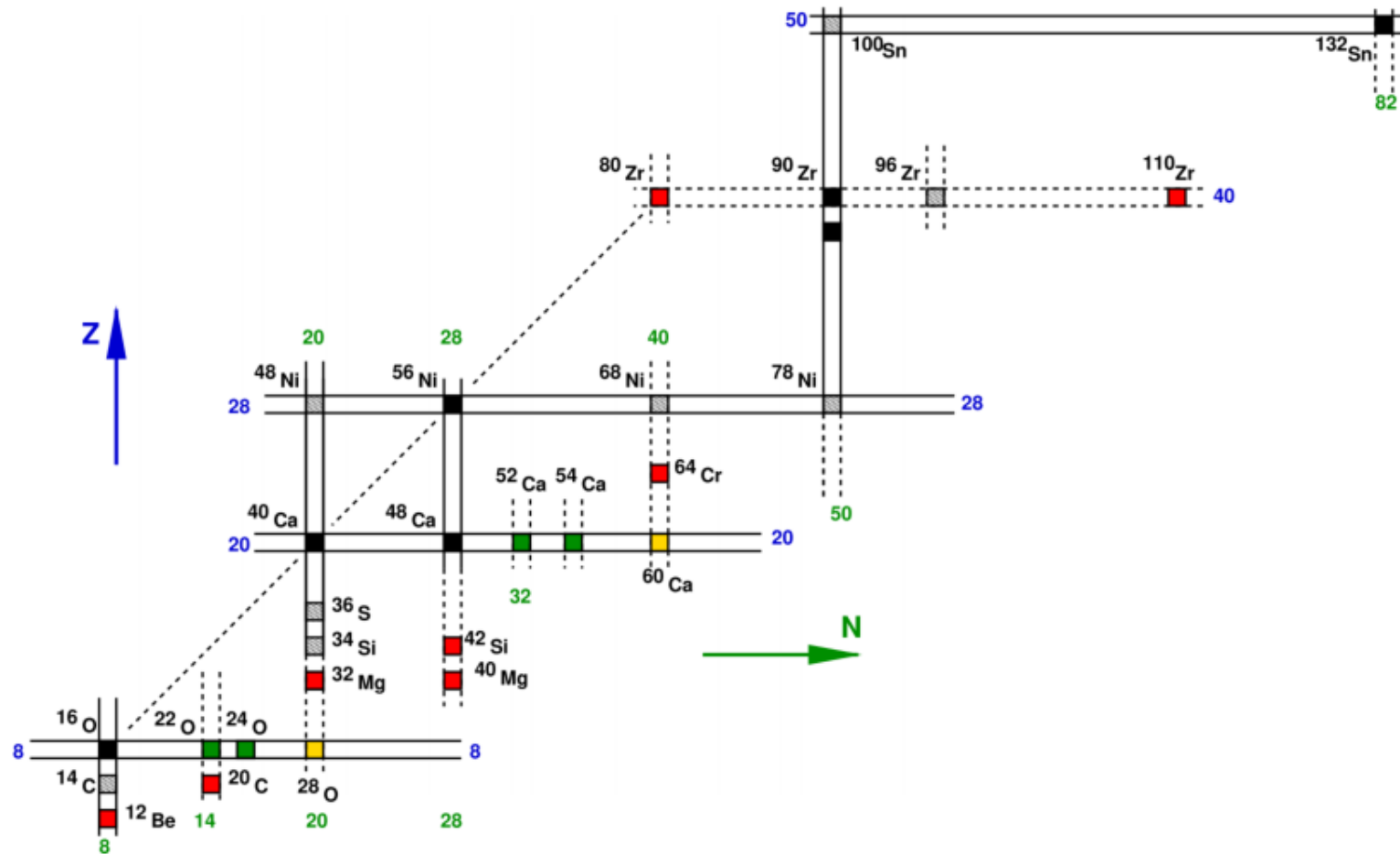
| $^{23}\text{Si} \rightarrow ^{23}\text{Al}$ | | | | $^{23}\text{F} \rightarrow ^{23}\text{Ne}$ | | | | | | |
|---|-------|----------|-------------|--|----------|-------------|--------------|----------|------|----------|
| $Q_{EC} = 16820 \text{ keV}$ | | | | $Q_{\beta^-} = 8440 \text{ keV}$ | | | $\delta(\%)$ | | MED | |
| J^π | E_x | $Br(\%)$ | $\log ft^+$ | E_x | $Br(\%)$ | $\log ft^-$ | Exp | VS-IMSRG | Exp | VS-IMSRG |
| $(3/2)^+$ | 1434 | 3.7(4) | 5.78(5) | 1822 | 10.9(11) | 5.65(6) | 34(24) | 146 | -388 | -418 |
| $(5/2)^+$ | 1746 | 1.1(3) | 6.26(12) | 2315 | 5.6(12) | 5.78(10) | 201(108) | 416 | -569 | -564 |
| $(3/2)^+$ | 3086 | 6.1(9) | 5.30(7) | 3432 | 12.0(11) | 5.05(5) | 78(35) | 47 | -346 | -460 |
| $(5/2)^+$ | 3710 | 22.6(11) | 4.631(25) | 3831 | 22.4(33) | 4.62(7) | 2(17) | 26 | -121 | -92 |
| $(7/2)^+$ | 4119 | 6.5(7) | 5.0(5) | 4169 | 9.4(9) | 4.71(6) | 145(44) | 114 | -317 | -265 |

| $^{22}\text{Si} \rightarrow ^{22}\text{Al}$ | | | | $^{22}\text{O} \rightarrow ^{22}\text{F}$ | | | | | | |
|---|-------|----------|-------------|---|----------|-------------|--------------|----------|------|----------|
| $Q_{EC} = 13963 \text{ keV}$ | | | | $Q_{\beta^-} = 6490 \text{ keV}$ | | | $\delta(\%)$ | | MED | |
| J^π | E_x | $Br(\%)$ | $\log ft^+$ | E_x | $Br(\%)$ | $\log ft^-$ | Exp | VS-IMSRG | Exp | VS-IMSRG |
| 1^+ | 905 | 5.3(10) | 5.09(9) | 1625 | 29(4) | 4.6(1) | 209(96) | 347 | -720 | -472 |
| 1^+ | 2145 | 56.5(51) | 3.83(5) | 2572 | 68(6) | 3.8(1) | 7(28) | -24 | -427 | -396 |

Hao Jian. et al., to be submitted

第一性原理很好的重现 ^{22}Al 的对称性破缺, ^{23}Al 的结果也与新数据符合很好

^{22}Si 双幻核结构---新幻数

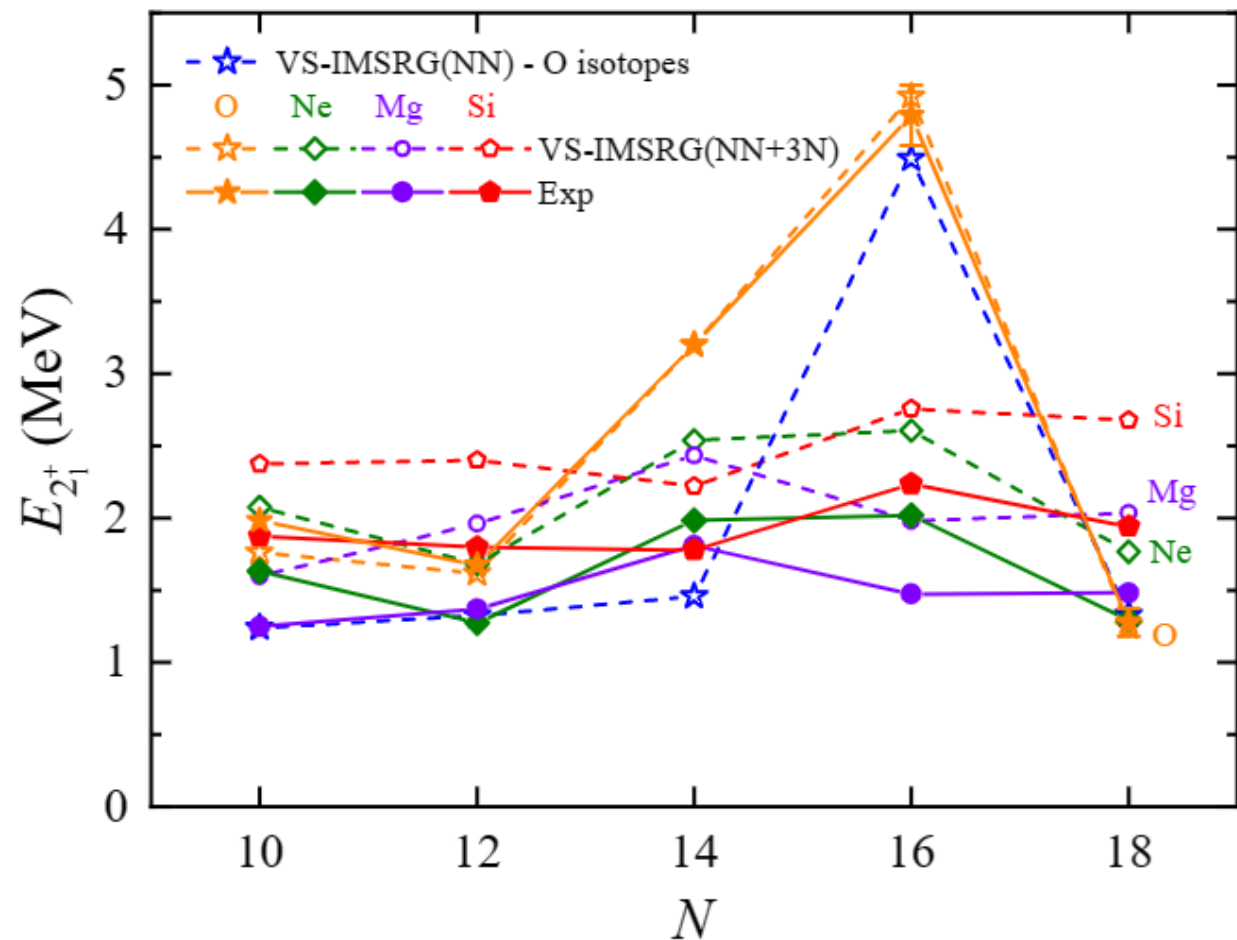


- ✓ 丰中子原子核中新的双幻核:
22,24O, 52,54Ca
- ✓ 这些幻数结构在丰质子原子核中还存在吗?
- ✓ 质子滴线原子核中有较强的同位旋对称性破缺现象 (Thomas-Ehrman shift).

Frédéric Nowacki, Alexandre Obertelli, Alfredo Poves, PPNP 120,103866(2021)

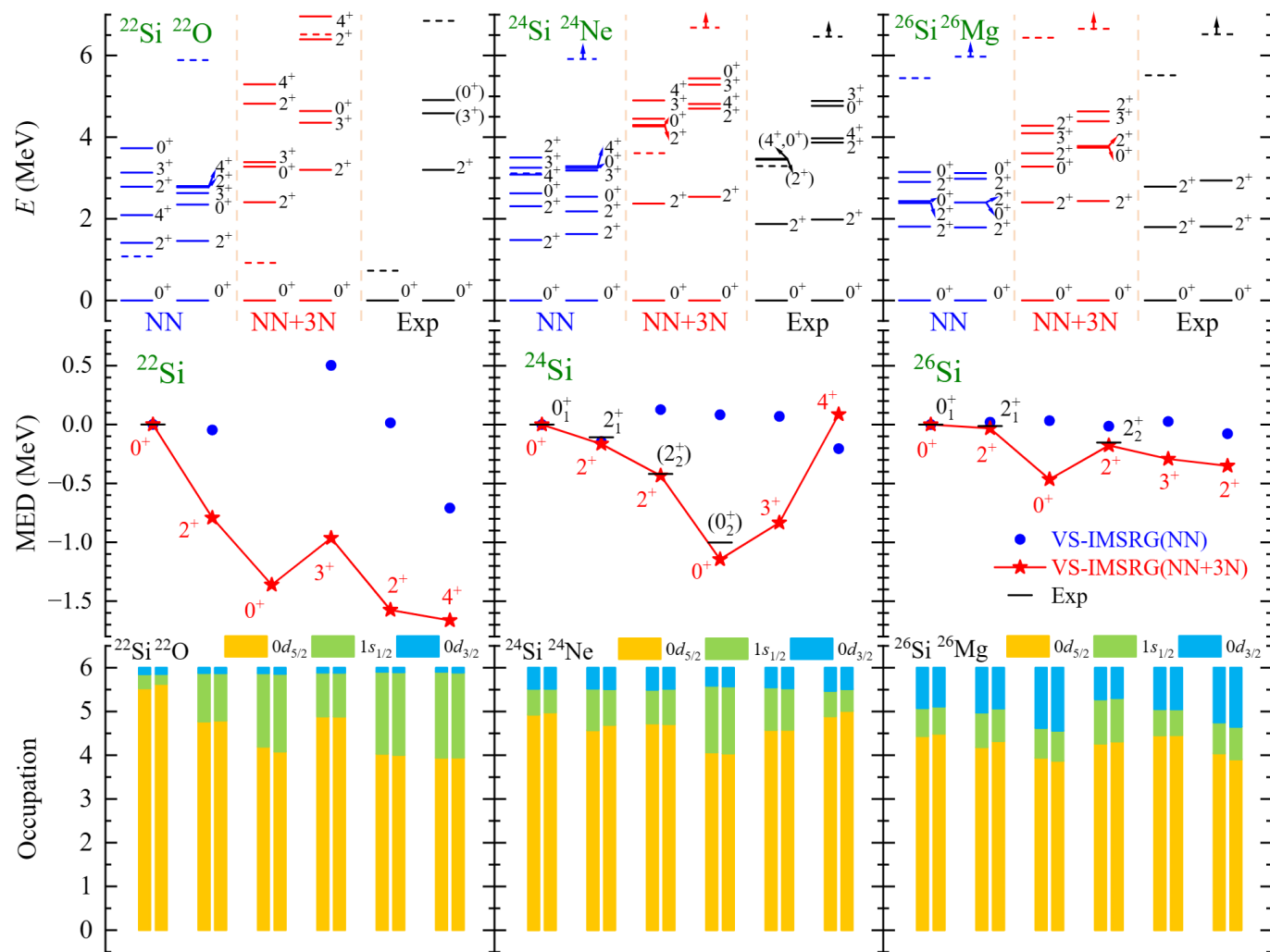
Whether ^{22}Si exhibits double-magic characters is an intriguing topic.

$N = 14$ 附近原子核壳演化



- ✓ $^{22,24}\text{O}$, $^{24,26}\text{Ne}$ 与 ^{26}Mg 的 $E(2_1^+)$ 比周围的其他同位素的 $E(2_1^+)$ 都高;
- ✓ $N=14$ 的子壳在 O, Ne 和 Mg 链中存在, 但是在 Si 链中消失了;
- ✓ 随着 ^{24}O 上添加价质子, $N=14$ 的子壳强度变得更弱

^{22}Si 双幻核结构---新幻数



- ✓ NN + 3N计算的 $^{24}\text{Si}/^{24}\text{Ne}$ 和 $^{26}\text{Si}/^{26}\text{Mg}$ 的能谱与MED与实验符合, 尤其计算的MED
- ✓ MED值较大, 表明此态具有较明显的同位旋对称性破缺, 同时此态的 $1s_{1/2}$ 轨道的占据较大, 如 ^{24}Si 的 0_2^+ 态
- ✓ 计算给出的 ^{22}Si 与 ^{22}O 的 $E(2_1^+)$ 的位置分别为2.4与3.2 MeV, Thomas-Ehrman shift 效应
- ✓ 计算显示 $^{22}\text{Si}/^{22}\text{O}$ 的 0^+ 与 2^+ 的组态非常接近
- ✓ 尽管 ^{22}Si 的 $E(2_1^+)$ 较低, 但是与 ^{22}O 相近, ^{22}Si 依然表现幻数性质。

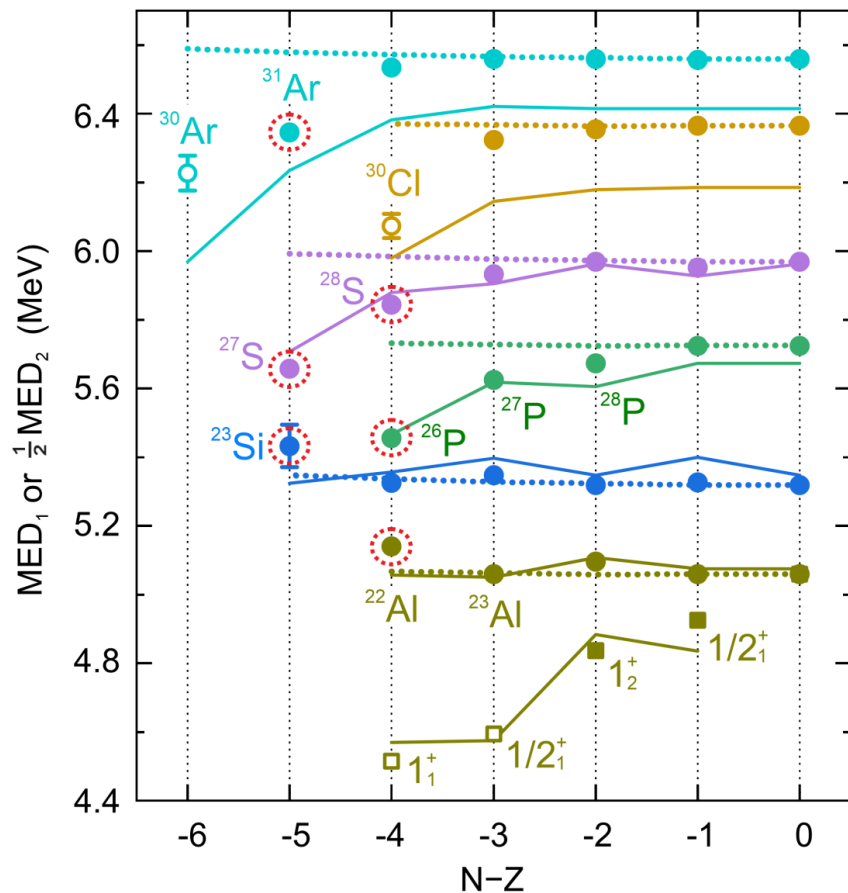
美国FRIB与日本RIKEN RIB 均在计划测量 ^{22}Si 激发态

J.G. Li,* H. H. Li, S. Zhang, Y. M. Xing,* W. Zuo,* *Phys. Lett. B* 846(1):138197(2023)

同位旋对称性破缺-原子核晕结构-质量测量



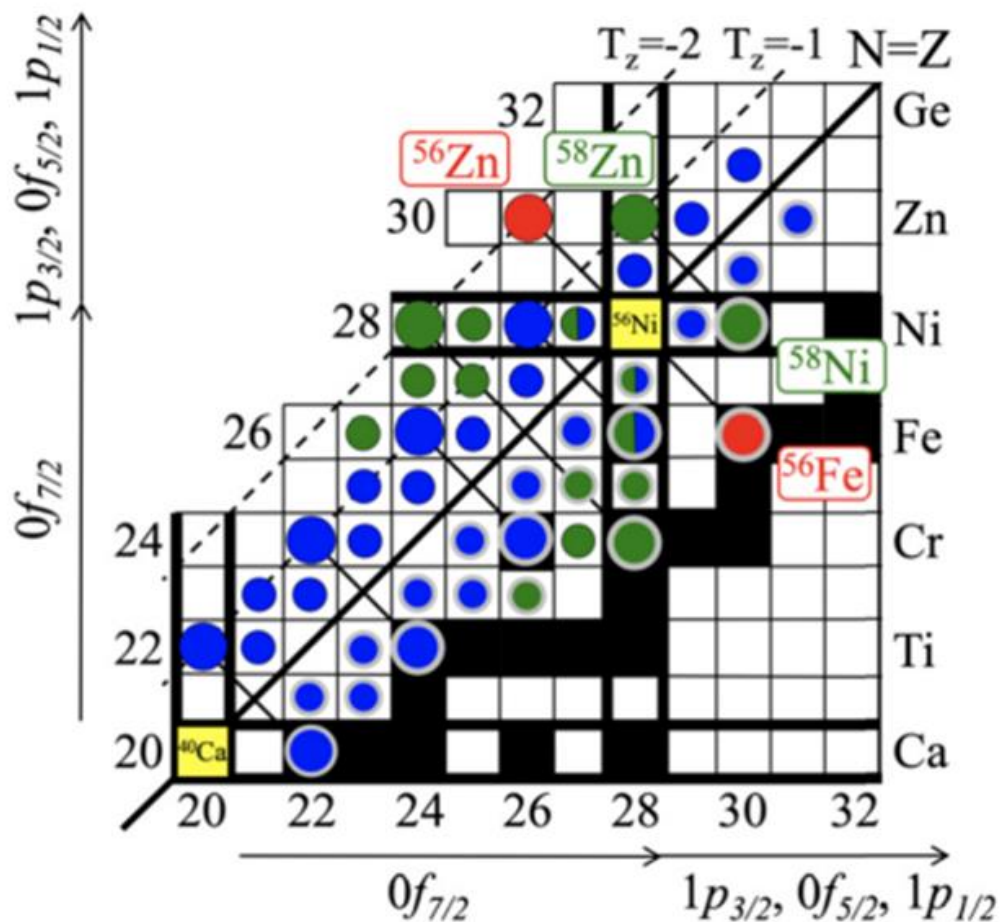
与近物所张玉虎与王猛研究员团队合作
兰州重离子加速器储存环精确质量测量



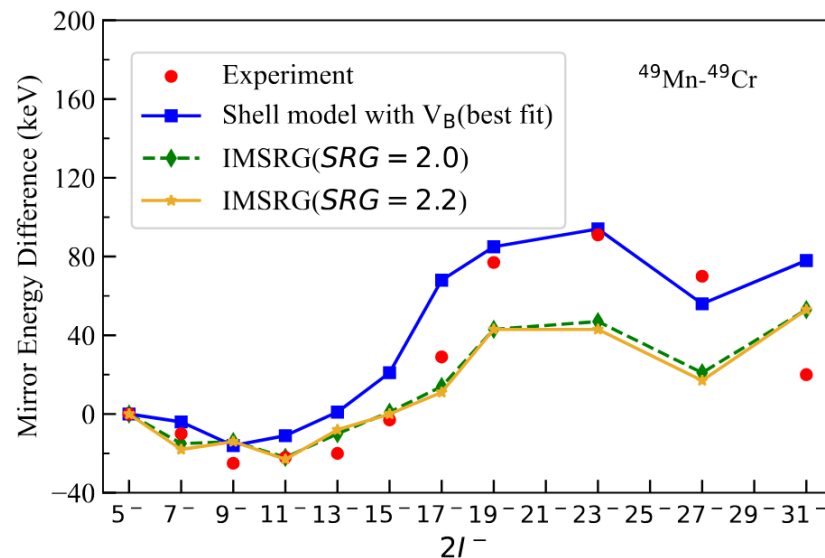
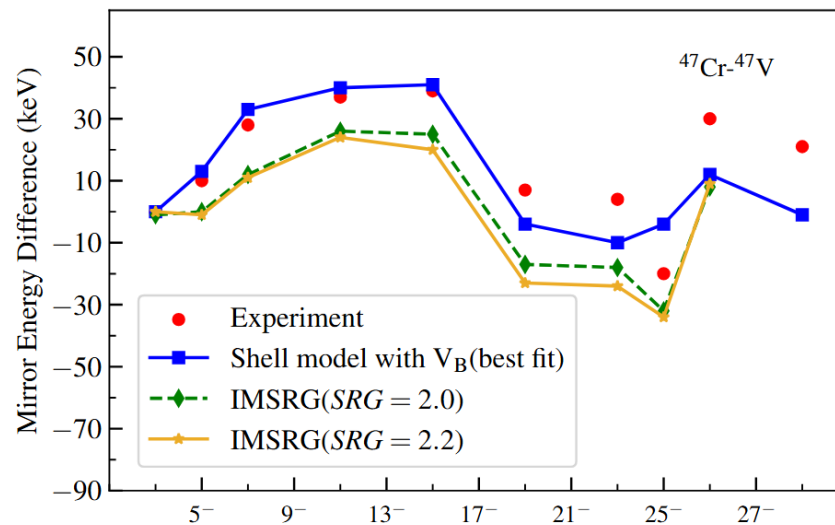
- ✓ 镜像原子核分离能在滴线附近偏离正常曲线
- ✓ Al同位素激发态存在明显同位旋对称性破缺
- ✓ 滴线原子核 ^{26}P , ^{27}P , ^{27}S , ^{31}Ar 基态中存在明显同位旋对称性破缺
- ✓ 同位旋对称性破缺的机制与晕核形成机制类似
- ✓ 滴线原子核 ^{26}P , ^{27}P , ^{27}S , ^{31}Ar 具有晕结构

Y. Yu, Y. M. Xing, Y. H. Zhang, M. Wang, X. H. Zhou, **J. G. Li**, H. H. Li, et al., submitted to PRL

pf-壳层原子核中同位旋对称性破缺

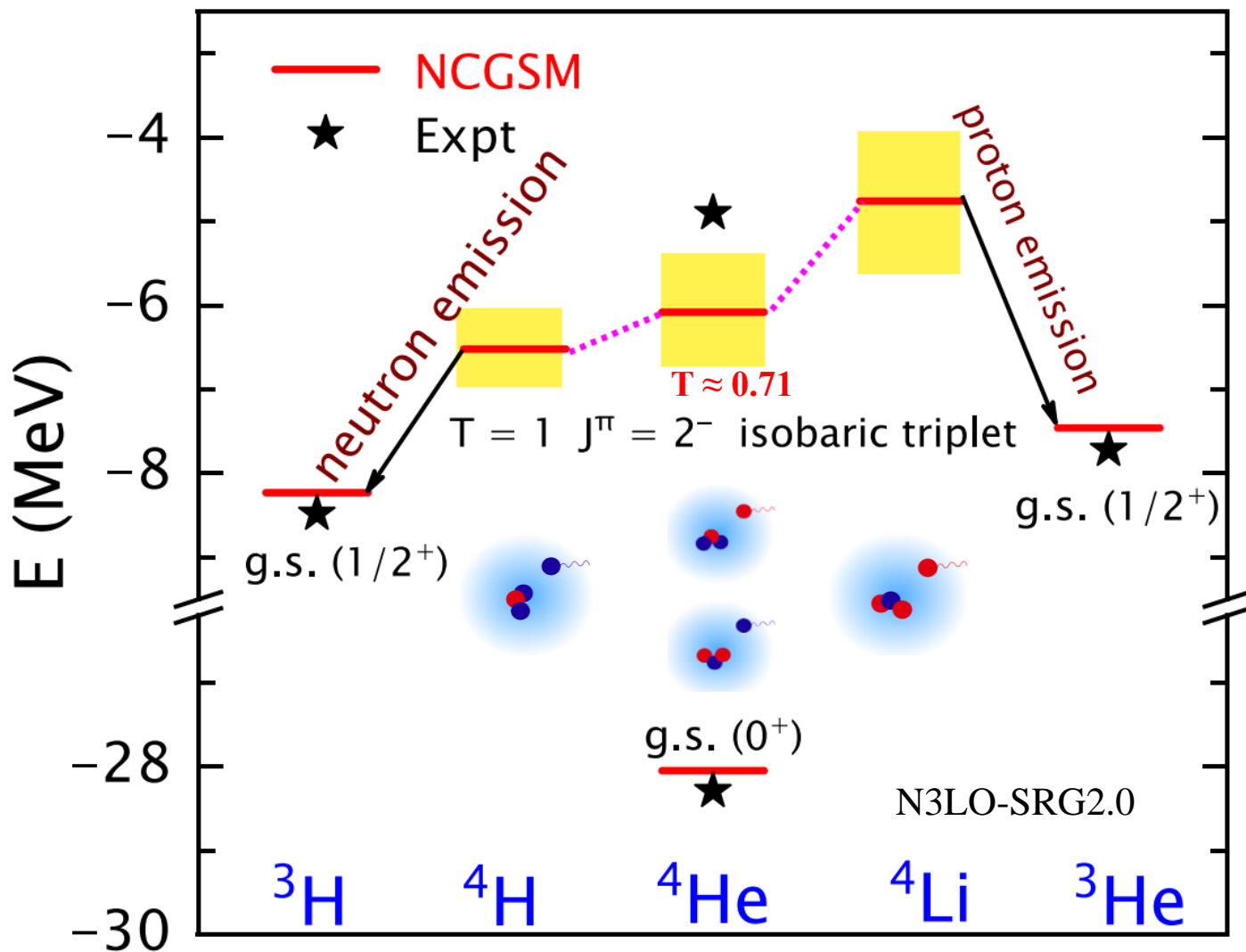


A. Fernández, et al., PLB 823 136784(2021)



J. G. Li, et al., in preparation

$A = 4$ (${}^4\text{H}$, ${}^4\text{He}$ and ${}^4\text{Li}$) $T = 1$ state



- ✓ Comparing the calculated spectra of the $A = 4$ systems, the ground states ${}^4\text{Li}$ ($T = 1$), ${}^4\text{H}$ ($T = 1$) (2^- and 1^-) with the ground state of ${}^4\text{He}$ ($T = 0$) and 2^- ($T = 1$) excited states.
- ✓ The isospin breaking is mainly caused by the Coulomb force.
- ✓ The energies and widths are both different due to the isospin breaking.
- ✓ The splitting of the $T = 2$ isobaric triplet states.

J.G. Li, N. Michel, W. Zuo and F.R. Xu, Phys. Rev. C 104, 024319 (2021)*

基于第一性原理研究原子核同位旋对称性破缺

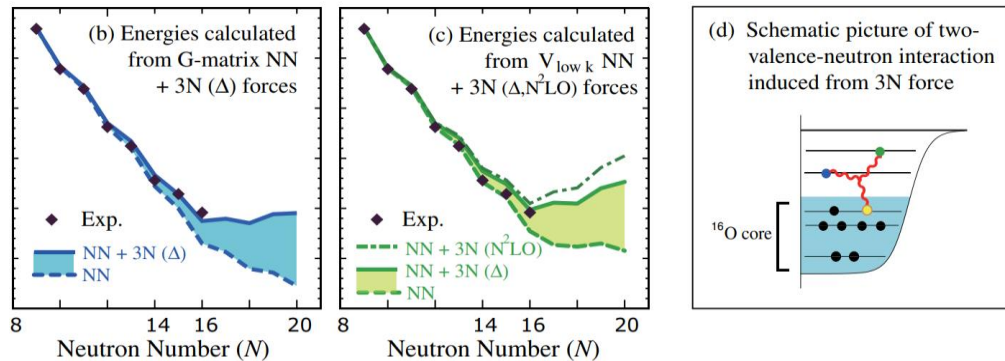
1. 镜像能级差异：弱束缚的 $s_{1/2}$ 轨道的占据是导致较大MED (Thomas-Ehrman位移)的主要原因
2. 预言 ^{22}Si 是双幻核：较低 $2+$ 激发能
3. 同位旋对称性破缺与晕结构：滴线原子核同位旋对称性破缺-质量精确测量-
4. 第一性原理计算精确描述fp-壳原子核同位旋对称性破缺
5. 无核芯Gamow壳模型描述轻核中的对称性破缺

请各位老师批评指正!

三体力效应-质量-第一性原理计算

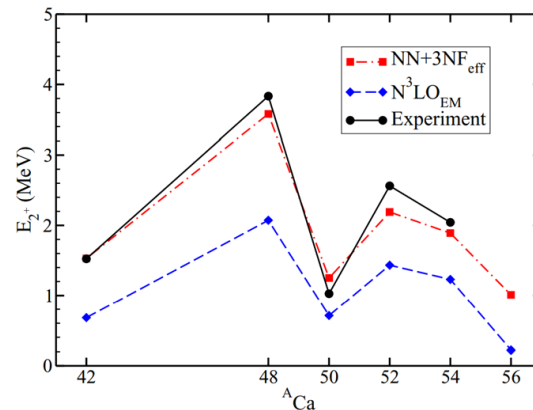


滴线位置



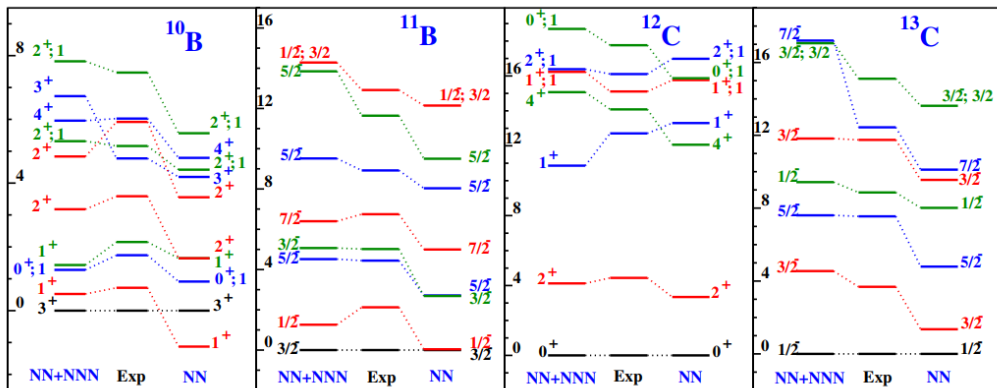
T. Otsuka, *et al.*, Phys. Rev. Lett. 105, 032501 (2010)

壳演化



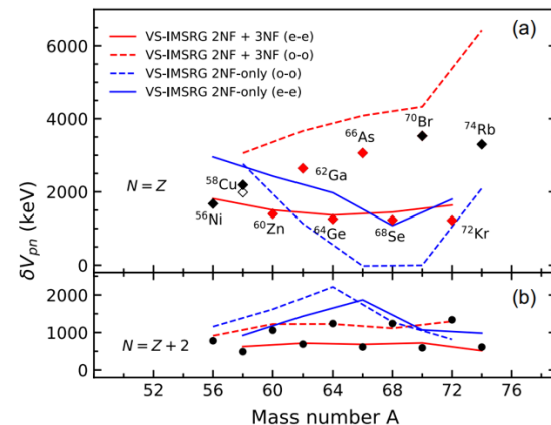
G. Hagen, *et al.*, Phys. Rev. Lett. 109, 032502 (2012)

能谱结构



P. Navrátil, *et al.*, Phys. Rev. Lett. 99, 042501 (2013)

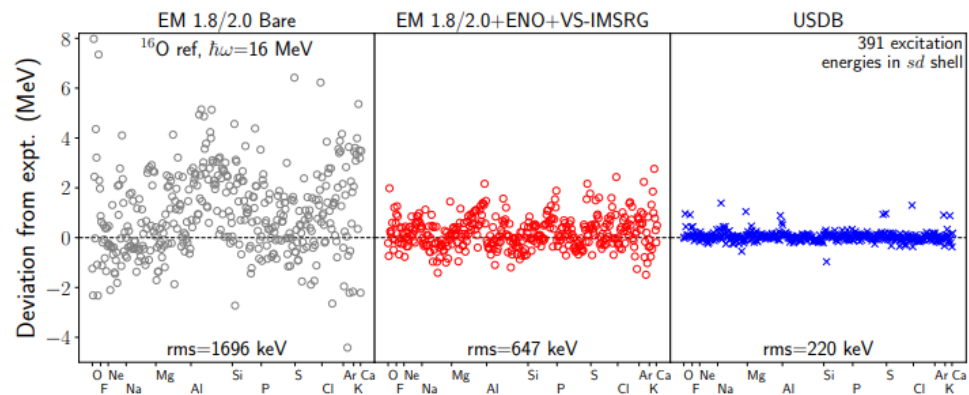
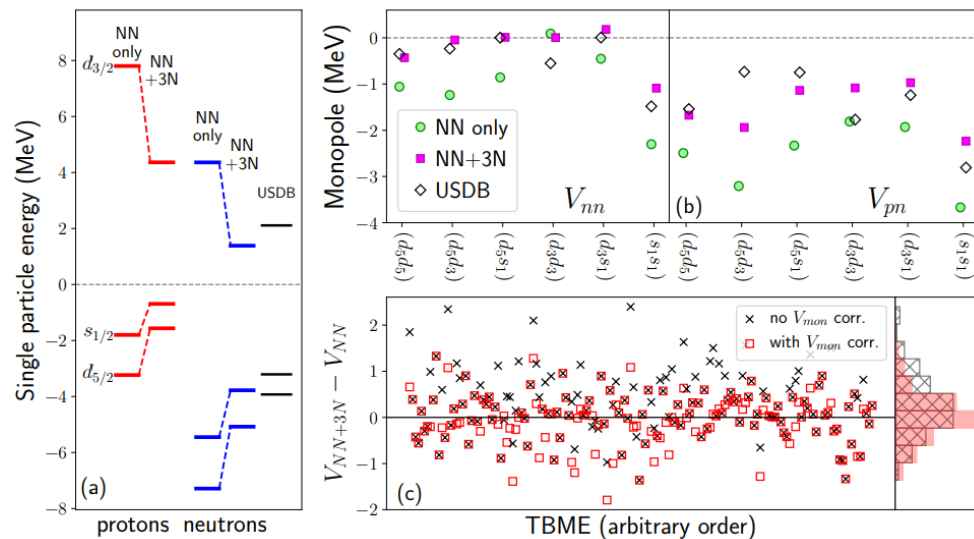
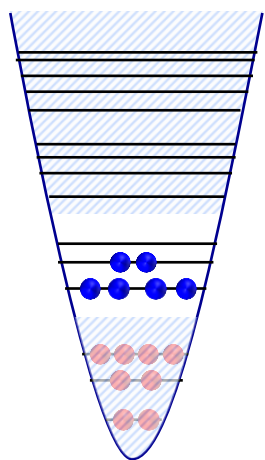
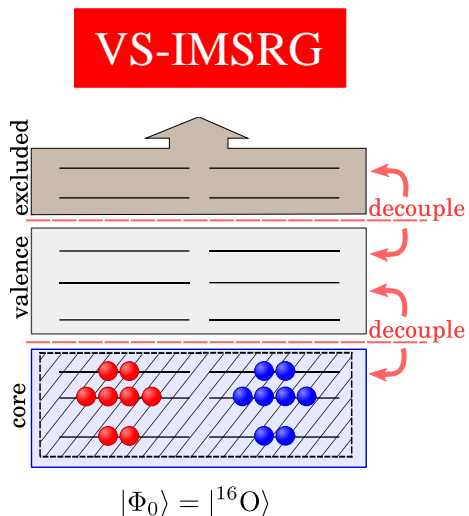
质子中子关联



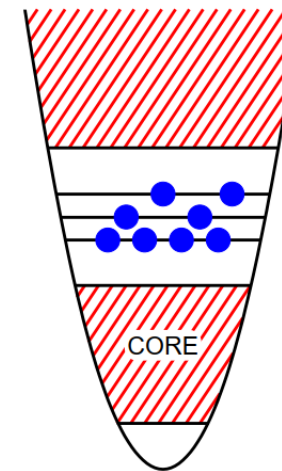
M. Wang, *et al.*, Phys. Rev. Lett 130, 192501(2023)

三体力效应在原子核性质中扮演着非常重要的角色

VS-IMSRG 相互作用 vs USDB 壳模型相互作用



USDB SM

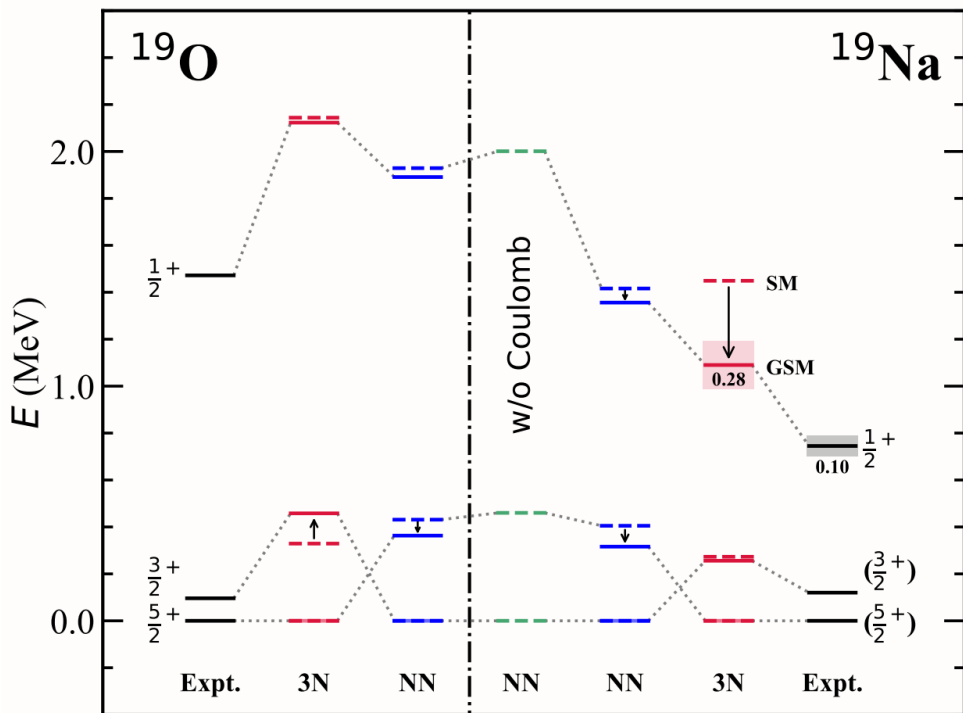


S. Ragnar Stroberg, Scott K. Bogner, Heiko Hergert, Jason D. Holt
 Annual Review of Nuclear and Particle Science, 69 307-362 (2019)

1. 同位旋对称性破缺的机制

CSB 与 CIB 在 GSM 计算中没有包含

$$H = H_{NN} + H_{CSB+CIB} + H_{Coulomb}$$



w/o coulomb : CSB+CIB part of NN

Model - Basis

SM : HO basis

GSM : Berggren basis

wavefunction-continuum effects

partially included

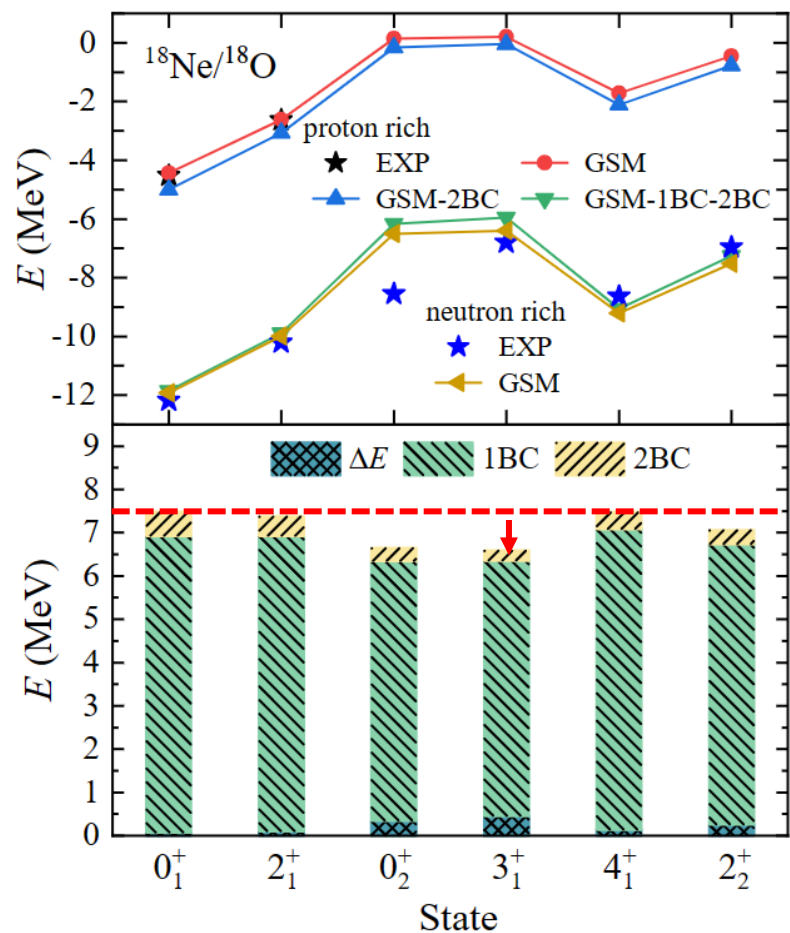
well treated

GSM 的计算量非常大!!!

S. Zhang, Y. Z. Ma, J. G. Li, B. S. Hu, Q. Yuan, Z. H. Cheng, F. R. Xu. *Phys. Lett. B* (2022)

库仑力 \rightarrow 丰质子原子核变得弱束缚或者不束缚 \rightarrow
 \rightarrow 波函数延展 \rightarrow Thomas-Ehrman shift (大的镜像核能级差异)

同位旋对称性破缺的机制



CSB and CIB is not included in the present GSM calculation.

$$H = H_{NN} + H_{1BC} + H_{2BC}$$

$$\Delta E = \langle \Psi_{proton} | H_{NN} | \Psi_{proton} \rangle - \langle \Psi_{neutron} | H_{NN} | \Psi_{neutron} \rangle$$

1BC: 单体库仑力的贡献
核芯-价质子

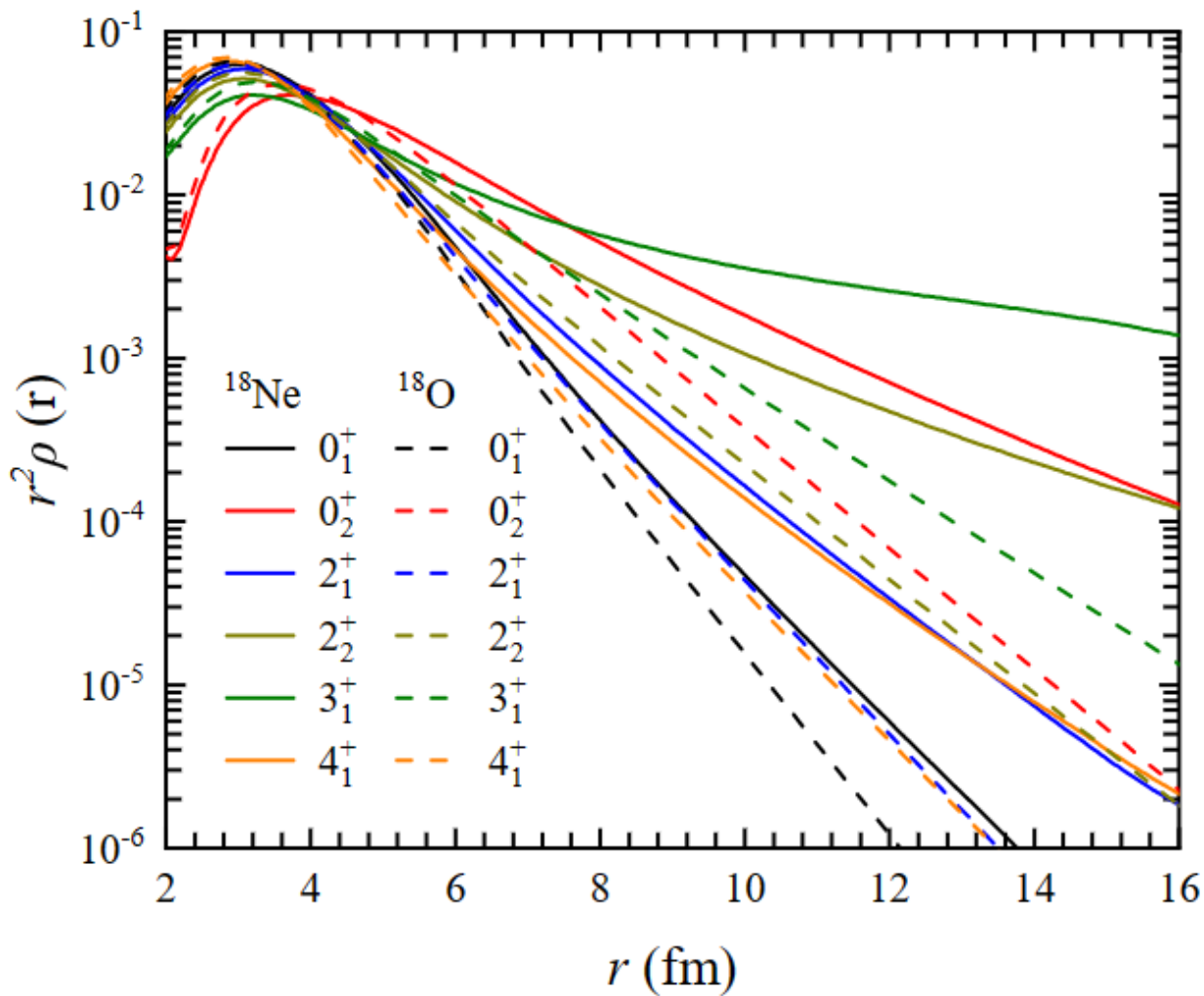
2BC: 两体库仑力贡献
价质子-价质子

ΔE , 1BC 与 2BC 均对镜像核能级差异(MED) 有贡献

大的镜像核能级差异主要由单体库仑力导致

库仑力 \rightarrow 丰质子原子核变得弱束缚或者不束缚 \rightarrow
不同的多体波函数 \rightarrow 1BC, 2BC, ΔE 都贡献

同位旋对称性破缺的机制



Density distributions of valence nucleons are almost same for the mirror state, except for the 3_1^+ in $^{18}\text{Ne}/^{18}\text{O}$.

occupations/configuration of the mirror states in $^{18}\text{Ne}/^{18}\text{O}$ are close

| J^π | ^{18}Ne | | | ^{18}O | | |
|---------|------------------|---------------|---------------|-----------------|---------------|---------------|
| | $\pi s_{1/2}$ | $\pi d_{3/2}$ | $\pi d_{5/2}$ | $\nu s_{1/2}$ | $\nu d_{3/2}$ | $\nu d_{5/2}$ |
| 0_1^+ | 0.108 | 0.098 | 1.751 | 0.142 | 0.103 | 1.675 |
| 2_1^+ | 0.370 | 0.070 | 1.537 | 0.388 | 0.079 | 1.481 |
| 0_2^+ | 1.864 | 0.004 | 0.122 | 1.673 | 0.008 | 0.211 |
| 3_1^+ | 0.999 | 0.000 | 1.000 | 0.997 | 0.001 | 0.999 |
| 4_1^+ | 0.000 | 0.088 | 1.905 | 0.000 | 0.102 | 1.888 |
| 2_2^+ | 0.635 | 0.009 | 1.353 | 0.582 | 0.013 | 1.389 |

[J. G. Li*](#), et al., in preparation

3. 质量中的同位旋对称性破缺



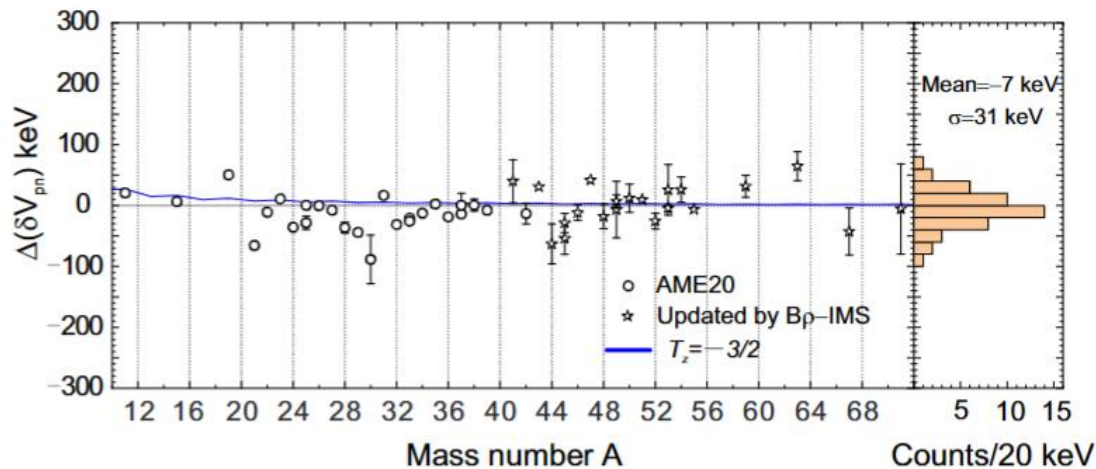
Effective proton-neutron interaction in mirror nuclei

Y. M. Xing,¹ Y. F. Luo,^{1,2} K. H. Li,^{1,3} Y. H. Zhang,^{1,2,*}
J. G. Li,^{1,†} M. Wang,^{1,2,‡} M. Zhang,^{1,2} T. Liao,^{1,2} and X. Zhou¹

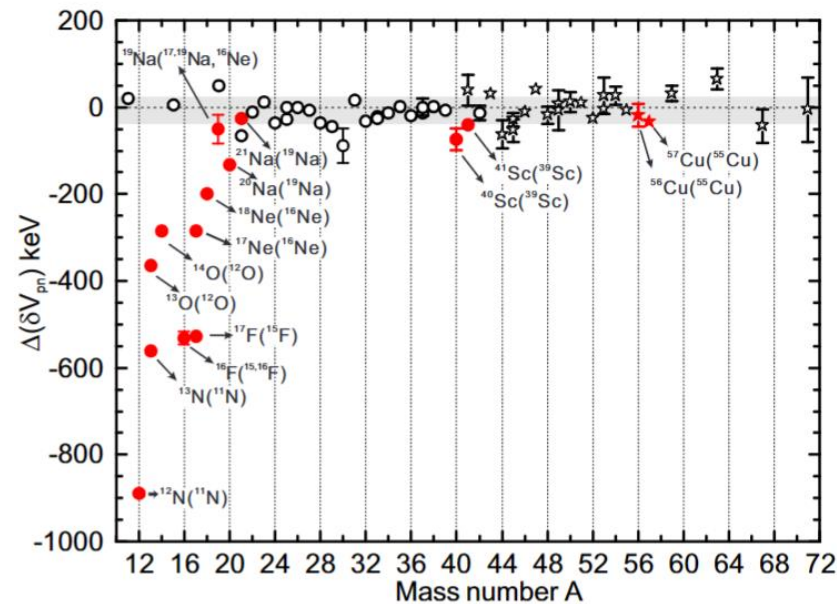
¹Heavy Ion Science and Technology Key Lab, Institute of Modern Physics,
Chinese Academy of Sciences, Lanzhou 730000, China

²School of Nuclear Science and Technology, University of Chinese Academy of Sciences, Beijing 100049, China

³Institute of Particle and Nuclear Physics, Henan Normal University, Xinxiang 453007, China



Kelson-Garvey relations



3. 质量中的同位旋对称性破缺



^{21}Mg :

Exp: -66 keV

GSM: -77 keV

^{18}Ne :

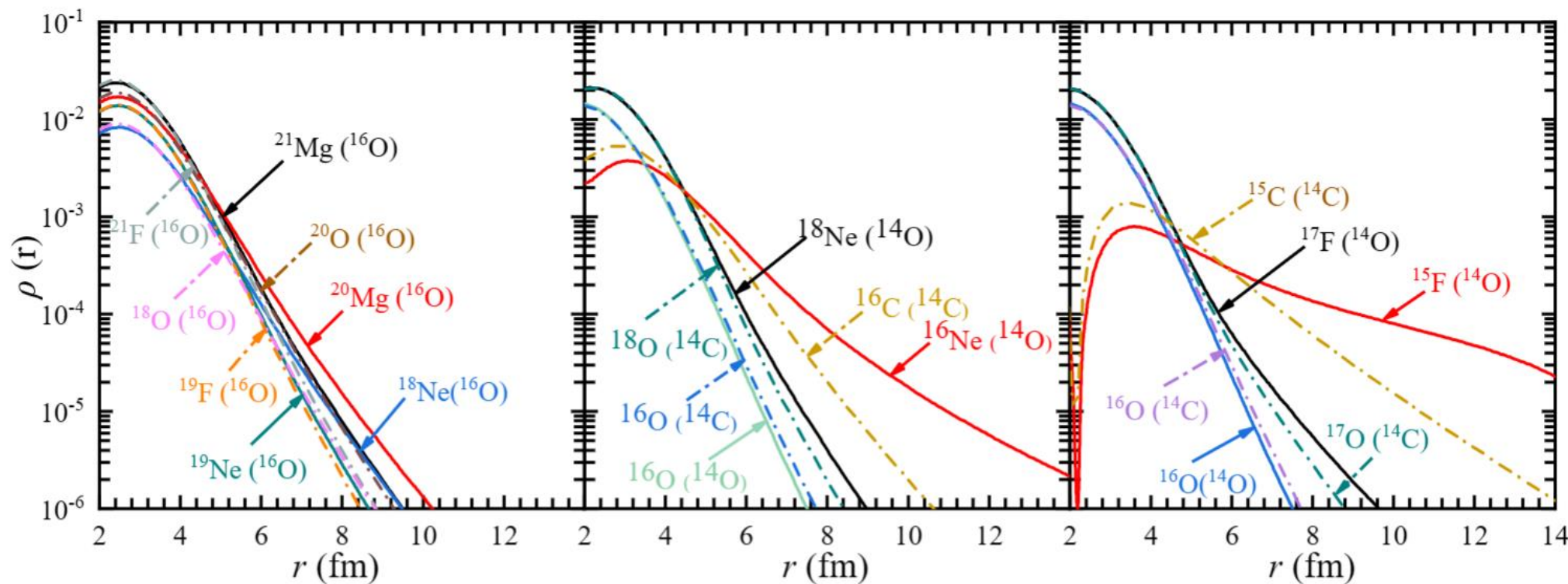
Exp: -200 keV

GSM: -222 keV

^{17}F :

Exp: -527 keV

GSM: -473 keV



V_{pn} 的破却主要由Thomas-Erhman shift效应导致